## 基于几何法的 3-PCR 平移并联分拣机器人工作空间研究

商记中,陈安军

(江南大学, 无锡 214122)

摘要:利用几何法,对 3-PCR 并联机器人运动学方程进行了分析。选取了一定的参数,在三维软件 INVENT-OR 里绘制出了相应的工作空间,通过分析单独支链的工作空间,最后确定了工作空间的包络面及包络线,并分析了该机构工作空间内的奇异性。

关键词:几何法; 3-PCR 平移并联分拣机器人; 工作空间

中图分类号: TB486<sup>+</sup>.3; TP24 文献标识码: A 文章编号: 1001-3563(2011)17-0080-04

# Research on the Workspace of 3-PCR Translational Sorting Parallel Robot Based on Geometrical Method

SHANG Ji-zhong, CHEN An-jun

(Jiangnan University, Wuxi 214122, China)

**Abstract:** The kinematical equation of a 3-PCR parallel robot was analyzed in geometrical method. With certain parameters specified, the corresponding workspace was drawn out with a 3D software INVENTOR. By analyzing workspace of each limb, the faces and lines of the workspace boundary was determined and then the singularity of the workspace was discussed.

Key words: geometrical method; 3-PCR parallel manipulator; workspace

在当前包装行业中,包装件的自动分拣主要依靠 串联机器人,但串联机器人各驱动装置装载在关节 上,故其运动惯量大,难以实现高速或超高速运动,且 传动力矩小;并联机器人驱动装置装载在定平台上, 因此其转动惯量小,具有传动力矩大、易实现高速运 动等特点,应用于包装行业,具有很大的优势。目前 国内并联分拣机器人的研究已经取得了一定的成就, 如 3-PPRR 并联机器人[1]、高速并联电池质量分拣机 械手[2]以及搬运分拣机器人[3]。但并联机器人工作 空间相对串联机器人较小,在一定程度上,限制了并 联机器人广泛应用,因此,对并联机器人工作空间尤 其是工作空间优化的研究就变得很迫切。工作空间 的分析一般分为数值法和解析法,因为解析解会随着 支链数目的增多,方程的复杂程度和求解难度也随之 增大,所以目前并联机器人工作空间分析主要用数值 法,例如网格法、Jacobi 法、Montecarlo 法和优化 法[4],而对于工作空间的优化,在一定范围内解析解 更具有应用价值。对解析解的求取,很大程度上依赖 于对正解的研究,以 Gosselin<sup>[5]</sup>提出的几何法可以从运动学方程建立模型,从而使得工作空间直观且易于求得。刘辛军、张立杰等人<sup>[6]</sup>通过 AutoCAD 绘制出并联机器人在某一平面内的工作面,并求取了解析解;曹毅<sup>[7]</sup>以蒙特卡洛法得到并联机器人的几何工作空间,然后识别抽取边界的关键点,从而得到了并联机器人的工作空间解析解。以求解 3-PCR 并联机器人为研究对象,应用几何法求取工作空间解析解,并对工作空间内的奇异性进行分析。

### 1 3-PCR 并联机器人的运动学方程

李波<sup>[8]</sup> 等人建立了 3-PCR 并联机器人模型,确定了由移动副、圆柱副和转动副连接动平台与定平台,并在定平台与动平台上建立了相应的坐标见图 1,坐标 O-xyz 固定在定平台中心点 O 处,z 轴垂直于xOy 平面(图 1),y 轴垂直并指向边  $O_2O_3$ ,坐标 P- $x_4$   $y_4$   $z_4$  固定动在平台中心点 P 处, $z_4$  轴平行 z 轴,坐

收稿日期: 2011-06-11

作者简介:商记中(1986-),男,河北唐山人,江南大学硕士生,主攻机器人动态性能分析与优化。

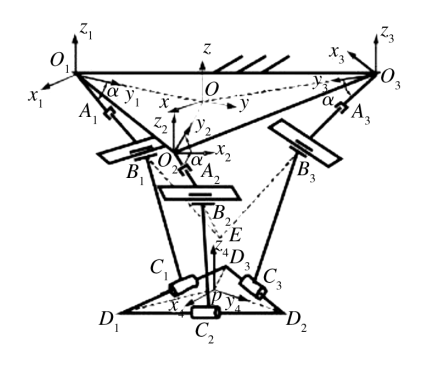


图 1 3-PCR 并联机器人的机构

Fig. 1 Schematic diagram of a 3-PCR parallel robot

标  $O_i$ - $x_iy_iz_i$ (i=1,2,3)分别固定在  $O_i$  点, $z_i$  平行于 z 轴, $y_i$  指向 O 点。其运动方程:

$$\begin{cases}
\left(y_{p} - l_{1}\cos\alpha + \frac{\sqrt{3}}{3}a - \frac{\sqrt{3}}{6}b\right)^{2} + (l_{1}\sin\alpha + z_{p})^{2} = h_{1}^{2} \\
\left(\frac{\sqrt{3}x_{p} + y_{p}}{2} + l_{2}\cos\alpha - \frac{\sqrt{3}}{3}a + \frac{\sqrt{3}}{6}b\right)^{2} + (l_{2}\sin\alpha + z_{p})^{2} = h_{2}^{2} \\
\left(\frac{\sqrt{3}x_{p} - y_{p}}{2} - l_{3}\cos\alpha + \frac{\sqrt{3}}{3}a - \frac{\sqrt{3}}{6}b\right)^{2} + (l_{3}\sin\alpha + z_{p})^{2} = h_{3}^{2}
\end{cases}$$
(1)

式中: $x_p$ , $y_p$ , $z_p$  为末端执行器在坐标 O-xyz 内的坐标值; $l_1$ , $l_2$ , $l_3$  为移动杆长度; $\alpha$  为驱动杆与顶平台夹角; $h_1$ , $h_2$ , $h_3$  为与动平台连接杆件的长度;a 为顶平台内切正三角形边长;b 为动平台内切正三角形边长。

## 2 绘制单链工作空间

由式(1)中第 1 式即支链  $O_1A_1B_1$  运动学方程 知,当  $I_1$  为定值时,其工作空间为一柱面,准线为:

$$\left(y_{p} - l_{1}\cos\alpha + \frac{\sqrt{3}}{3}a - \frac{\sqrt{3}}{6}b\right)^{2} + (l_{1}\sin\alpha + z_{p})^{2} = h_{1}^{2}$$
(2)

母线为平行 x 轴的直线段,利用 INVENTOR 软件可绘制在 yOz 平面内该支链的工作平面。因机构受重力的影响,动平台不可能高过转动副,因此,在 yOz 平面内,固定驱动参数  $l_1$  得到的工作弧线 1 见图 2 。

若  $l_1$  在  $\left(0, \frac{\sqrt{3}a}{3\cos\alpha}\right)$  内取值,即可以沿图 2 中线段 2 方向阵列弧线 1,得到的图形见图 3,然后抽取其边界,绘制平面图形,见图 4。

A,B,C,D,E,F 分别为抽取的边界线,边界在三

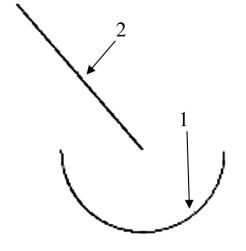


图 2 支链  $O_1A_1B_1$  在 yOz 平面的工作弧线 Fig. 2 The work arc of limb  $O_1A_1B_1$  in yOz plane



图 3 支链  $O_1A_1B_1$  在 yOz 平面的工作线段 Fig. 3 The work arc of limb  $O_1A_1B_1$  in yOz plane

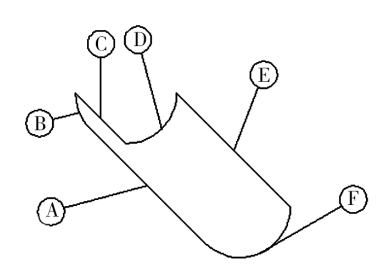


图 4 在 yOz 平面中抽取的边界 Fig. 4 Boundary extracted in plane yOz

维图形中进行拉伸,拉伸高度即为圆柱副长度,该单支链工作空间由1个柱面和2个平面所包围,见图5。



图 5 单支链的工作空间 Fig. 5 The workspace of single limb

经分析可得支链  $O_1A_1B_1$  在坐标  $O_2xyz$  下的工作空间表面方程式(3),其中  $A_1$ , $B_1$ , $C_1$ , $D_1$ , $E_1$ , $F_1$  为沿 z 轴方向拉伸线段 A,B,C,D,E,F 所得柱面; $M_1$ , $N_1$  为拉伸截面;d 为 1/2 圆柱副长度。

$$\begin{cases}
\left(y_{1} + \frac{\sqrt{3}}{3}a - \frac{\sqrt{3}}{6}b\right)^{2} + z_{1}^{2} = h_{1}^{2} & (B_{1}, D_{1}, J_{1}) \\
\left(y_{1} - \frac{\sqrt{3}}{6}b\right)^{2} + \left(z_{1} + \frac{\sqrt{3}a\tan\alpha}{3}\right)^{2} = h_{1}^{2} & (F_{1}) \\
y_{1} = \tan\alpha\left(x_{1} + \frac{\sqrt{3}}{3}a - \frac{\sqrt{3}}{6}b - h_{1}\right) & (C_{1}) \\
y_{1} = \tan\alpha\left(x_{1} + \frac{\sqrt{3}}{3}a - \frac{\sqrt{3}}{6}b + h_{1}\right) & (E_{1}) \\
y_{1} + \frac{h}{\cos\alpha} = \tan\alpha\left(x_{1} + \frac{\sqrt{3}}{3}a - \frac{\sqrt{3}}{6}b + h_{1}\right) & (A_{1}, A_{2}) \\
x_{1} = \pm d & (M_{1}, N_{1})
\end{cases}$$
(3)

然后围绕坐标轴 Z 轴分别旋转 120°和 240°,得到 另外2条支链的工作空间,使用旋转矩阵,得到另外2 个支链的工作空间包络面方程:

$$\begin{bmatrix} x_{2} \\ y_{2} \\ z_{2} \end{bmatrix} = \begin{bmatrix} \cos 120^{\circ} & -\sin 120^{\circ} & 0 \\ \sin 120^{\circ} & \cos 120^{\circ} & 0 \\ 0 & 0 & 1 \end{bmatrix} \begin{bmatrix} x_{1} \\ y_{1} \\ z_{1} \end{bmatrix}$$
(4)
$$\begin{bmatrix} x_{3} \\ y_{3} \\ z_{3} \end{bmatrix} = \begin{bmatrix} \cos 240^{\circ} & -\sin 240^{\circ} & 0 \\ \sin 240^{\circ} & \cos 240^{\circ} & 0 \\ 0 & 0 & 1 \end{bmatrix} \begin{bmatrix} x_{1} \\ y_{1} \\ z_{1} \end{bmatrix}$$
(5)

解得:

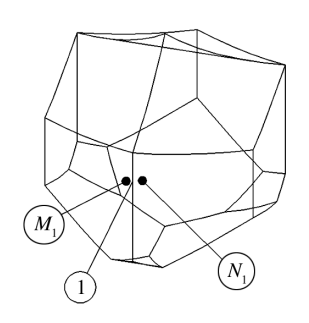
$$\begin{cases} x_1 = \frac{-x_2 + \sqrt{3}y_2}{2} \\ y_1 = \frac{-x_2 - \sqrt{3}y_2}{2} \\ z_1 = z_2 \end{cases}$$
 (6)

$$\begin{cases} x_{1} = \frac{-x_{3} + \sqrt{3}y_{3}}{2} \\ y_{1} = \frac{\sqrt{3}x_{3} - y_{3}}{2} \\ z_{1} = z_{3} \end{cases}$$
 (7)

将式(6)和(7)带入第1个支链工作空间包络面 方程组式(3),可以得到另外2个支链的工作空间包 络面,然后3个支链的工作空间相交,取其交集,即为 3-PCR 并联机器人的工作空间。

由于 3-PCR 并联机器人的工作空间随着机构几 何参数的变化而呈现出不同的形状,因而其包络面的 表达式也不同,取一组参数:a=1~000~mm,b=100 $mm, d = 400 mm, h_1 = h_2 = h_3 = 300 mm, \alpha = 45° \text{ By}, 3-$ PCR 并联机器人的工作空间见图 6。

在图 6 中取  $M_1$  和  $N_2$  2 个面,通过分析可得方程 如下:



3-PCR 并联机器人工作空间包络图 Fig. 6 The boundary of a 3-PCR parallel robot

$$x = 400 \qquad (M_1) \tag{8}$$

$$x - \sqrt{3}y - 800 = 0$$
  $(N_2)$  (9)

则图 6 中所示的包络线[5]可以表示为:

$$\begin{cases} x = 400 \\ x - \sqrt{3} y - 800 = 0 \end{cases} \tag{10}$$

通过上述方法.可以求出整个 3-PCR 并联机器 人工作空间包络面及包络线的解析解。

## 3 3-PCR 并联机器人工作空间内部奇异性分析

由运动学方程(1)对时间求导,可得其运动学方 程[7]:

$$\mathbf{A} \begin{bmatrix} \dot{x} \\ \dot{y} \\ \dot{z} \end{bmatrix} = \mathbf{B} \begin{bmatrix} \dot{l}_1 \\ \dot{l}_2 \\ \dot{l}_3 \end{bmatrix} \tag{11}$$

$$\mathbf{A} = \begin{bmatrix} a_{11} & a_{12} & a_{13} \\ a_{21} & a_{22} & a_{23} \\ a_{31} & a_{32} & a_{33} \end{bmatrix}, \mathbf{B} = \begin{bmatrix} m_{11} & 0 & 0 \\ 0 & m_{22} & 0 \\ 0 & 0 & m_{33} \end{bmatrix}$$
(12)

矩阵A中:

 $a_{33} = l_3 \sin \alpha + z$ 

$$\begin{cases} a_{11} = 0 \\ a_{12} = y - l_1 \cos \alpha + \frac{\sqrt{3}}{3} a - \frac{\sqrt{3}}{6} b \\ a_{13} = l_1 \sin \alpha + z \\ a_{21} = \frac{\sqrt{3}}{2} \left( \frac{\sqrt{3} x + y}{2} + l_2 \cos \alpha - \frac{\sqrt{3}}{3} a + \frac{\sqrt{3}}{6} b \right) \\ a_{22} = \frac{1}{2} \left( \frac{\sqrt{3} x + y}{2} + l_2 \cos \alpha - \frac{\sqrt{3}}{3} a + \frac{\sqrt{3}}{6} b \right) \\ a_{23} = l_2 \sin \alpha + z \\ a_{31} = \frac{\sqrt{3}}{2} \left( \frac{\sqrt{3} x - y}{2} - l_3 \cos \alpha + \frac{\sqrt{3}}{3} a - \frac{\sqrt{3}}{6} b \right) \\ a_{32} = \frac{1}{2} \left( y - \frac{\sqrt{3} x}{2} + l_3 \cos \alpha - \frac{\sqrt{3}}{3} a + \frac{\sqrt{3}}{6} b \right) \end{cases}$$

矩阵**B**中:

$$\begin{cases}
m_{11} = \cos \alpha \left( y - l_1 \cos \alpha + \frac{\sqrt{3}}{3} a - \frac{\sqrt{3}}{6} b \right) - \\
\sin \alpha (l_1 \sin \alpha + z) \\
m_{22} = -\cos \alpha \left( \frac{\sqrt{3} x + y}{2} + l_2 \cos \alpha - \frac{\sqrt{3}}{3} a + \frac{\sqrt{3}}{6} b \right) - \\
\sin \alpha (l_2 \sin \alpha + z) \\
m_{33} = \cos \alpha \left( \frac{\sqrt{3} x - y}{2} - l_3 \cos \alpha + \frac{\sqrt{3}}{3} a - \frac{\sqrt{3}}{6} b \right) - \\
\sin \alpha (l_3 \sin \alpha + z)
\end{cases}$$
(14)

当矩阵行列式  $\det(\mathbf{A})=0$ ,并且  $\det(\mathbf{B})\neq0$  时,为第 1 类奇异,即逆运动学奇异。当机构处于该种类型奇异时,机构丧失 1 个或多个自由度,而由于 3-PCR 并联机器人为 3 自由度平移机器人,因而只能在 x 轴、y 轴、z 轴方向上移动,而不具有旋转的可能。从图 6 可知,该机构的工作空间为一实心体,因此,只在实心体表面发生第 1 类奇异。

在轨迹规划时,只要使机构的末端执行器在工作空间内部运动,而不触及工作空间边界,就可以避免第1类奇异的发生。

当矩阵行列式  $\det(\mathbf{A})\neq0$ ,并且  $\det(\mathbf{B})=0$  时,机构发生第 2 类奇异,即正运动学奇异,当机构处于该种类型奇异时,即使锁死驱动器,末端执行器也会拥有 1 个或者多个自由度。通过观察矩阵  $\mathbf{A}$ ,发现当  $\det(\mathbf{B})=0$  时,则机构一条支链中连接圆柱副和动平台的杆件与驱动副轴线垂直;另外,通过图 1 发现,当机构定平台在上,动平台在下安装时,机构由于受到重力的影响,支链中连接圆柱副和动平台的杆件末端绕圆柱副轴线旋转,且为下面半圆。为避免发生第 2 类奇异,在设计机构时,可以通过对驱动副与定平台夹角  $\alpha$  进行限制,使支链中连接圆柱副和动平台的杆件在可能的运动范围内,不与驱动副轴线垂直,即  $\alpha \in (0.90^\circ)$ 。

当矩阵行列式  $\det(\mathbf{A})=0$  目  $\det(\mathbf{B})=0$  时,机构发生第 3 类奇异,当机构处于该种奇异时,机构末端执行器会丧失一定的自由度,同时锁定驱动器,末端执行器也拥有自由度。通过约束驱动副范围并且优化驱动副与定平台夹角  $\alpha$ ,可以避免机构处于第 3 类奇异。

因此,当 $\alpha$ 的取值值范围为(0,90°)时,通过合理的规划驱动参数,可以避免该机构发生奇异。

#### 4 总结

- 1)以3-PCR 并联分拣机器人为研究对象,通过 几何法求得了其工作空间,并对其包络面和包络线求 取了解析解。
- 2) 分析了该机构工作空间内部奇异性,当  $\alpha$  在 (0,90°)内取值时,机构工作空间内部无奇异性。

通过对 3-PCR 并联分拣机器人工作空间解析解的求取及奇异性的分析,对以后的机构优化将有很大帮助,从而指导 3-PCR 并联分拣机器人的样机设计。如实现包装分拣、搬运动作,可根据上述求得的 3-PCR 并联分拣机器人工作空间包络面和包络线,选取合适的安装位置和最优的杆件参数,以降低包装成本,并综合奇异性分析,合理规划运动轨迹,避免机构产生奇异,提高机构稳定性。该机构应用于包装分拣、搬运等操作领域,将发挥很大的作用,因此该机构具有良好的应用前途。

#### 参考文献:

- [1] 王耀庭,马雪梅,陈安军. 3-PPRR 平移分拣并联机器人的运动学分析[J]. 包装工程,2010,31(19):55-59.
- [2] 赵学满,王攀峰,李占贤,等.基于高速并联机械手的电池质量分拣机设计[J].机械设计,2005,22(10):3-5.
- [3] 付铁,李金泉,陈恳,等. 一种新型高速码垛机械手的设计与实现[J]. 北京理工大学学报,2007,27(1):17-20.
- [4] 范守文,徐礼钜. 机器人工作空间分析的解析法[J]. 机械设计与研究,2004,20(z1):194-199.
- [5] GOSSELIN C M. Determination of the Workspace of 6-DOF Parallel Manipulators [J]. Journal of Mechanical Design, 1990, 112(3):331-336.
- [6] 刘辛军,张立杰,高峰.基于 AutoCAD 平台的六自由度 并联机器人位置工作空间的解析求解方法[J]. 机器人, 2000,22(6):457-464.
- [7] 曹毅,王树新,李群智.基于随机概率的机器人工作空间及其解析表达[J].设计与研究,2005(2):1-4.
- [8] 李波,陈安军. 3-PCR 并联机器人机构的运动学分析 [J]. 机械设计与研究,2009,25(5):31-34.